

Г-611

ОБЪЕДИНЕННЫЙ  
ИНСТИТУТ  
ЯДЕРНЫХ  
ИССЛЕДОВАНИЙ

Дубна

1 - 3027



Б.М. Головин, Л.А. Кулюкина

ПОЛЯРИЗАЦИОННЫЕ ЭФФЕКТЫ ПРИ НЕУПРУГОМ  
 $Nd$ -РАССЕЯНИИ

2. Вклады отдельных двухчастичных амплитуд

МОСКОВСКИЙ ЗАВОД ПРОМСИГМЫ

ВЫЧИСЛИТЕЛЬНЫЙ ЦЕНТР

1966

1 - 3027

Б.М. Головин, Л.А. Кулюкина

ПОЛЯРИЗАЦИОННЫЕ ЭФФЕКТЫ ПРИ НЕУПРУГОМ  
на -РАССЕЯНИИ

. 2. Вклады отдельных двухчастичных амплитуд

4661/3 np.



## 1. Об использовании дейтрона для получения сведений о параметрах рассеяния свободных нуклонов

Как известно, многие авторы изучают квазиупругое рассеяние протонов на нейтроне дейтрона с целью получения сведения о свободном  $p\bar{p}$ -рассеянии. Опыт обычно состоит в том (см. рис. 1), что пучок (поляризованных или неполаризованных) протонов падает на дейтеросодержащую мишень и регистрируются одна или две частицы, вылетающие из мишени по фиксированным направлениям. При регистрации двух частиц углы их разлета выбирают в соответствии с требованиями кинематики рассеяния свободных нуклонов.

При использовании результатов таких экспериментов обычно предполагают, что поляризованные сечения неупрогого  $Nd$ -рассеяния близки к сумме соответствующих сечений  $p\bar{p}$ -и  $p\pi$ -рассеяния при измерениях по схеме рис. 1а или к поляризованному сечению рассеяния соответствующей пары нуклонов при измерениях по схеме рис. 1б.

В импульсном приближении интересующие нас сечения могут быть вычислены по формуле

$$\begin{aligned} d\langle \hat{T} \rangle = & \frac{2\pi}{k} \frac{Mc^2}{(\hbar c)^2} Sp \{ \langle (1 - P_{12}) \Phi_f | \hat{T} | \Psi_{in} \rangle \rho_{in} \langle (1 - P_{12}) \times \\ & \times \Phi_f | \hat{T} | \Psi_{in} \rangle^* S \} \times \delta (\vec{k}_1 + \vec{k}_2 + \vec{k}_3 - \vec{k}_1) \frac{d\vec{k}_1 d\vec{k}_2 d\vec{k}_3}{(2\pi)^3} \quad (1) \end{aligned}$$

$$\hat{T} = \hat{t}_2 + \hat{t}_3.$$

Здесь и далее используются обозначения, применявшиеся ранее в работе<sup>1/</sup>. Не-трудно показать, что эту формулу можно представить в виде суммы, зависимость отдельных членов которой от двухчастичных амплитуд  $M_{xy}$  рассеяния нуклонов  $x$  и  $y$  имеет вид  $Sp\{\hat{M}_{ik} P_{in} \hat{M}_{em}^+ \hat{S}\}$ . Первый из таких членов описывает вклад от рассеяния тождественных частиц, второй - от рассеяния частиц не-тождественных, третий - от амплитуды  $\hat{M}_{23} = P_{12} \hat{M}_{13}^+$ , возникающей из ам-плитуды  $pp$ -рассеяния при антисимметризации  $Nd$ -системы по конечным со-стояниям тождественных нуклонов. Остальные слагаемые описывают различные интерференционные эффекты.

Ясно, что достаточно простую связь между неупругим  $Nd$ -рассеянием и параметрами свободного  $NN$ -рассеяния можно установить лишь в том случае, когда:

- а) первые два члена формулы для вычисления поляризованных сечений ("полезные" члены) или хотя бы один из них (при измерениях по схеме рис. 1б) близки к соответствующим поляризованным сечениям  $NN$ -рассеяния;
- б) суммарный вклад в поляризованное сечение остальных ("мешающих") членов мал по сравнению с вкладом членов "полезных".

Явные выражения  $Sp\{\}$  через коэффициенты амплитуд  $NN$ -рассеяния очень громоздки и в ряде случаев мало наглядны. Поэтому, не приводя этих выражений, мы ограничимся лишь констатацией некоторых их особенностей.

1. Шпуры, входящие в первые два члена расчетной формулы, имеют ту же зависимость от коэффициентов  $NN$ -амплитуд, как и соответствующие поляри-зированные сечения свободных нуклонов, но могут отличаться от последних чис-ленными множителями.

2. Третий член, содержащий амплитуды  $M_{23}$  и  $M_{23}^+$ , а также интер-ференционные члены, наряду с комбинациями коэффициентов  $NN$ -амплитуд, вхо-дящих в выражения, описывающие поляризационные сечения  $NN$ -рассеяния, аналоги рассматриваемого квазиупругого процесса, содержат и такие комби-нации, которые в случае рассеяния свободных нуклонов не встречаются.

3. При рассеянии неполяризованных нуклонов на неполяризованных дейтро-нах поляризации тождественных частиц в конечном состоянии описываются раз-ными комбинациями  $NN$ -амплитуд, в отличие от свободного  $pp$ -рассеяния, где они, совпадая по величине, различаются лишь по знаку. Этот эффект связан

с наличием трех частиц в рассматриваемой системе и с тем, что в начальном состоянии частицы, образующие дейtron, могут находиться лишь в триплетном состоянии.

Анализ общей структуры формулы (1) показывает, что результаты измерений по схеме рис. 1а могут, в общем случае, заметно отличаться от суммы поляризованных сечений рассеяния тождественных и нетождественных нуклонов. Поэтому обоснованность использования таких данных при определении параметров свободного  $NN$ -рассеяния представляется несколько сомнительной. Напротив, в опытах, соответствующих рис. 1б, свойства волновой функции дейтрана и кинематика реакции позволяют надеяться, что вклад одного из "полезных" членов будет превалирующим. Однако и в этом случае получение численных оценок роли отдельных двухнуклонных амплитуд в формировании поляризованных сечений  $Nd$ -рассеяния остается крайне желательным.

## 2. Вклады отдельных двухнуклонных амплитуд в сечение неупругого рассеяния нуклонов дейтранами

Поскольку основные положения используемой нами теории  $Nd$ -рассеяния /1,3/ носят нерелятивистский характер, вычисления будем проводить для энергии достаточно малой, чтобы релятивистские эффекты были не слишком существенны и, в то же время достаточно большой, чтобы импульсное приближение можно было считать применимым.

Пусть пучок нуклонов падает на дейтериевую мишень и регистрируются две тождественные частицы-продукты реакции. Предположим, что при проведении опыта мы знаем энергию налетающего нуклона, фиксируем углы (л.с.) вылета тождественных частиц и измеряем энергию одной из них. Соответствующее этим условиям поляризованное сечение будет описываться формулой /1/:

$$\frac{d^3 \langle I \rangle}{d\Omega_1 d\Omega_2 dE_1} = 4 \frac{Mc^2 k_1}{(\hbar c)^2 k_0} \sum_q Sp \{ [ (1 - P_{12}) (\hat{M}_{12}(e_2, \theta_2) a(\vec{k}_1 + \vec{k}_2 - \vec{k}_{01}) + \\ + \hat{M}_{13}(e_3, \theta_3) a(-\vec{k}_2)) ] \rho_{in} [(1 - P_{12})(M_{12}(e_2, \theta_2) a(\vec{k}_1 + \vec{k}_2 - \vec{k}_{01}) +$$

$$\hat{M}_{13} (e_3, \theta_3) a(-\vec{k}_2)))]^+ \hat{s}] \times \frac{\vec{k}_{2,q}}{|2k_{2,q} - k_{01} \cos \Delta_{02} + k_1 \cos \Delta_{12}|} \quad (2)$$

$$k_{2,q} = \frac{1}{2} (k_{01} \cos \Delta_{02} - k_1 \cos \Delta_{12}) \pm \sqrt{\frac{k_{01} \cos \Delta_{02} - k_1 \cos \Delta_{12}, (k_1 - k_{01}) k_1 \cos \Delta_{01} + \frac{Mc^2}{(hc)^2} b}{2}}. \quad (3)$$

Зависимость NN -амплитуд  $\hat{M}_{12}, \hat{M}_{13}, \hat{M}_{23}$  от внутридейственного движения учтем, выбирая для каждой энергии частицы I значения амплитуд, соответствующие эффективным энергиям и углам NN -рассеяния, определяемым формулами (16) и (17) работы <sup>1/</sup>.

Программа вычислений построена таким образом, что вначале для каждого значения энергии  $E_1$  находятся эффективные энергии  $e_2, e_3, e_4$  и углы NN -рассеяния  $\theta_2, \theta_3, \theta_{23}$ . Затем по этим параметрам и значениям коэффициентов NN -амплитуд в работе <sup>2/</sup> определяются двухчастичные амплитуды, вычисляются заданные сечения и поляризационные параметры. Расчеты выполнялись для средних значений амплитуд NN -рассеяния без учета погрешностей их задания, так как такой учет сильно увеличил бы расход машинного времени, не принося существенной пользы в понимании роли отдельных двухчастичных взаимодействий в рассматриваемом процессе.

В качестве примера приведем результаты расчетов сечения и асимметрии Nd -рассеяния для следующих условий опыта <sup>x)</sup>:

начальная энергия налетающего нуклона  $E_0 = 150$  Мэв;

углы (л.с.) вылета первой частицы  $\Theta = 20^\circ, \phi = 0^\circ$ ;

углы (л.с.) вылета второй частицы  $\Theta = 70^\circ, \phi = 180^\circ$ .

Поляризация падающего пучка равна 100% и ориентирована по нормали к плоскости рассеяния.

<sup>x)</sup> Более простой опыт подобного типа – измерение асимметрии рассеяния поляризованных протонов дейtronами с регистрацией лишь направлений двух протонов был выполнен нами <sup>4/</sup> при энергии начальных протонов 635 Мэв. Однако в расчетах процессов Nd -рассеяния при этой энергии необходимо уже учитывать релятивистские эффекты.

Можно показать<sup>x)</sup>, что при выбранных нами условиях каждому кинематически возможному значению энергии первой частицы соответствует единственное значение энергии  $E_2$ . Неоднородность существует лишь в сравнительной узкой области энергий  $E_1$ , близких к наибольшему значению этой величины.

Вычисленные нами зависимости вкладов отдельных  $NN$ -амплитуд в сечение  $Nd$ -рассеяния от энергий  $E_1$  приведены на рис. 2а, а зависимость асимметрии рассеяния от той же величины — на рис. 2б.

Полученные результаты позволяют сделать следующие выводы:

1. Спектр рассеянных нуклонов имеет резкий максимум при эффективной энергии соударения пары регистрируемых нуклонов, близкой к энергии налетающей частицы и при незначительном уходе от энергетической поверхности.

2. При описанной постановке опыта неполяризованное сечение вблизи максимума почти полностью определяется двухчастичной амплитудой рассеяния тождественных нуклонов и отличается от аналогичного сечения свободного  $pp$ -рассеяния не более, чем на 5–10%.

3. Асимметрия рассеяния вблизи максимума спектра близка к той, какая наблюдалась бы при рассеянии в тех же условиях свободных нуклонов. Различие между этими величинами не превосходит 10–15%.

4. С удалением от максимума растет вклад в формирование сечения и асимметрия рассеяния других двухчастичных амплитуд. При этом увеличиваются также дефекты энергии, определяющие уход взаимодействующих двухчастичных систем от энергетической поверхности. Вместе с тем суммарное сечение процесса при удалении от максимума резко падает. Поэтому роль указанных в этом пункте эффектов при рассмотренных условиях оказывается незначительной.

Таким образом, выполненные нами расчеты подтверждают возможность использовать данные о  $Nd$ -рассеянии для получения сведений о параметрах рассеяния свободных нуклонов, если погрешности в 10–15% являются допустимыми. При более жестких требованиях рассмотрение дейтрана как мишени, содержащей свободные нейтроны, является мало обоснованным даже в импульсном приближении.

<sup>x)</sup> Релятивистские расчеты кинематики реакций  $A + B \rightarrow C + D + E$  для частиц с произвольными массами были выполнены в качестве учебной задачи учениц школы № 8 Дубны М. Головиной. Авторы благодарны за эти вычисления ей и обучившему ее программированию А.И. Салтыкову.

Авторы благодарны В.П. Джелепову и Г.А. Осокову за поддержку этой работы, Л.И. Лапидусу, С.М. Биленькому, Р.М. Рыдину за многочисленные полезные обсуждения ряда затронутых в работе вопросов, А.М. Розановой за помощь при подготовке исходного числового материала.

### Л и т е р а т у р а

1. Б.М. Головин, Л.А. Кулюкина. Препринт ОИЯИ З026, Дубна 1966.
2. Б.М. Головин, А.М. Розанова. Препринт ОИЯИ, Р-2861, Дубна 1966.
3. A. Everett Phys. Rev., 126, 831 (1963).
4. В.П. Джелепов, Б.М. Головин, В.С. Надеждин, В.И. Сатаров. 12 Международная конференция по физике высоких энергий, Дубна 1964, т. 1, стр. 11.

Рукопись поступила в издательский отдел  
17 ноября 1966 г.

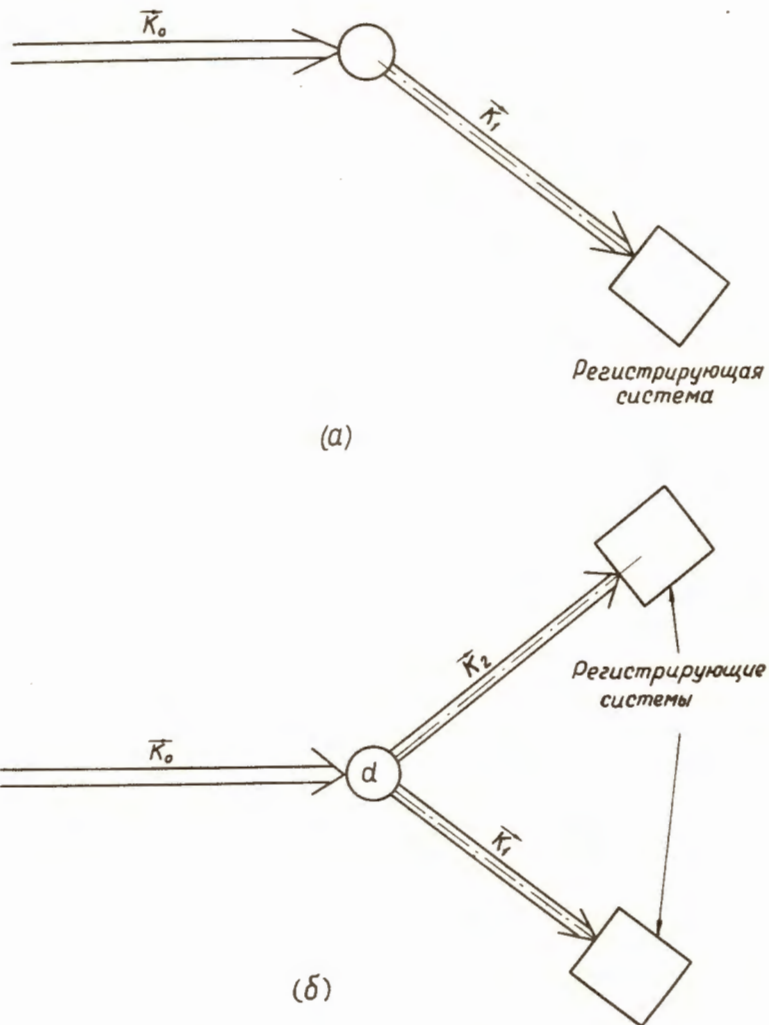


Рис. 1. Схема опыта по изучению Nd -рассеяния.  
а) Опыт с регистрацией одной рассеянной частицы.  
б) Опыт с регистрацией двух рассеянных частиц.

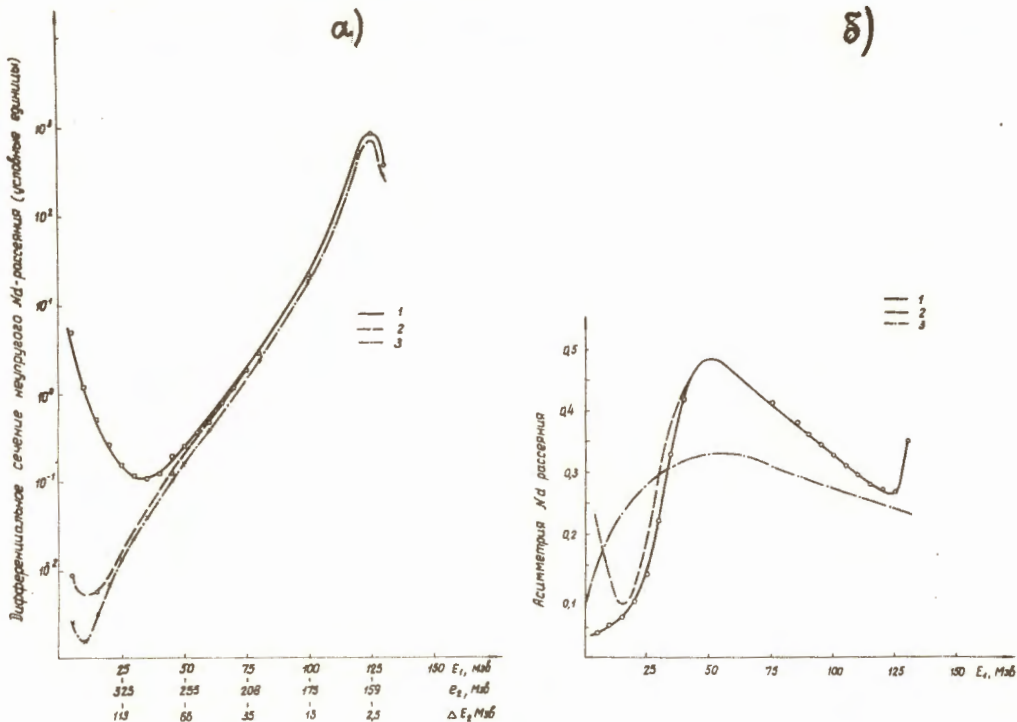


Рис. 2. Вклады отдельных двухчастичных взаимодействий в сечение и асимметрию  $Nd$ -рассеяния: а) сечение неполяризованного  $Nd$ -рассеяния; б) асимметрия рассеяния поляризованных нуклонов дейtronов. Амплитуда  $Nd$ -рассеяния взята в виде:

- 1).  $\hat{A}_{Nd} \approx \hat{M}_{02} a(\vec{\kappa}_1) + (1 - P_{12}) \hat{M}_{03} a(\vec{\kappa}_2),$
- 2).  $\hat{A}_{Nd} \approx \hat{M}_{02} a(\vec{\kappa}_1) + \hat{M}_{03} a(\vec{\kappa}_2),$
- 3).  $\hat{A}_{Nd} \approx M_{02} a(\vec{\kappa}_1).$